

**ОБЪЕКТНО-ОРИЕНТИРОВАННАЯ ТЕХНОЛОГИЯ ИНТЕГРАЦИИ
НАВИГАЦИОННЫХ ИЗМЕРИТЕЛЕЙ
И ЕЕ РЕАЛИЗАЦИЯ В БЕСПЛАТФОРМЕННОЙ ИНЕРЦИАЛЬНОЙ СИСТЕМЕ БИНС-1000
НА ВОЛОКОННО-ОПТИЧЕСКИХ ГИРОСКОПАХ**

Ю. Н. Коркишко¹, В. А. Федоров², А. И. Патрикеев³

ООО НПК "ОПТОЛИНК", 124498, Москва, Зеленоград, проезд 4806, д.5

Тел. (+7-495) 536-9933, Факс: (+7-495) 536-9934, e-mail: opto@optolink.ru

А. В. Черноларов⁴, В. А. Матюшин⁵

Военно-воздушная инженерная академия им. Н.Е. Жуковского,

125190, Россия, Москва, ул. Планетная, 3

Тел. (+7-499) 231-1118, e-mail: chernod@mail.ru

С. Е. Переляев⁶

Московский институт электромеханики и автоматики, 125319, Россия, Москва,

Авиационный переулок, 5, e-mail: aomiea@aviapribor.ru

Аннотация

Ключевые слова: инерциальноподатчиков, навигационные системы, волоконно-оптические гироскопы, объектно-ориентированная технология интеграции навигационных измерителей

Рассматриваются особенности реализации объектно-ориентированной технологии интеграции навигационных измерителей в беспилотных инерциальноподатчиковых системах (БИНС). Представлена структура проблемно-ориентированного аппаратного и программно-математического обеспечения системы БИНС-1000 на базе волоконно-оптических гироскопов. Приводятся результаты стендовых и натурных испытаний системы БИНС-1000, подтверждающие возможность и целесообразность применения предлагаемой технологии для создания заказных БИНС различного назначения.

Введение

Развитие бортового оборудования летательных аппаратов (ЛА) характеризуется разработкой и внедрением интегрированных систем навигации (ИСН). Необходимость и целесообразность создания таких систем связана с ужесточением требований к навигационной безопасности полетов маневренных ЛА. Интеграция навигационных систем (НС) позволяет решать следующие задачи:

- обеспечение непрерывности и глобальности навигационных определений;
- обеспечение требуемых точностных характеристик, достоверности и целостности навигационных определений;
- объединение в единую структуру навигационных измерителей различного принципа действия и обеспечение на этой основе взаимной поддержки НС;
- реализация интеграционных возможностей оптимальных оценивающих фильтров;
- обеспечение взаимного контроля, парирования сбоев и отказов;
- обеспечение требуемых эксплуатационных характеристик НС в изменяющейся помеховой обстановке;
- снижение времени готовности НС к применению и др.

Реализация потенциальных возможностей ИСН требует адекватной организации вычислительного процесса. Такая организация должна исключать фазовые искажения и обеспечивать требуемую частоту определения параметров движения ЛА.

В работе рассматривается объектно-ориентированная технология построения математического и аппаратного обеспечения ИСН. Такая технология предусматривает настройку аппаратной части на решаемую задачу и отображение алгоритмов ИСН на реконфигурируемую измерительно-вычислительную среду (ИВС). Реконфигурируемая ИВС позволяет выполнять отработку аппаратного и программно-математического обеспечения ИСН как при проведении стендовых, так и натурных экспериментов.

Цель работы – улучшение эксплуатационных характеристик ИСН на основе объектно-ориентированной технологии интеграции навигационных измерителей.

¹ Доктор физико-математических наук, профессор, генеральный директор.

² Доктор физико-математических наук, профессор, технический директор.

³ Кандидат технических наук, старший научный сотрудник.

⁴ Кандидат технических наук, доцент, старший научный сотрудник.

⁵ Преподаватель.

⁶ Доктор технических наук, главный научный сотрудник.

К эксплуатационным характеристикам ИСН, существенно влияющим на навигационную безопасность, можно отнести точность, надежность, целостность и время готовности ИСН к применению.

1. Объектно-ориентированная технология аппаратного обеспечения интегрированных бесплатформенных инерциально-спутниковых навигационных систем

В НИК “ОПТОЛИНК” (Зеленоград) объектно-ориентированная технология рассматривается как базовая при разработке интегрированных бесплатформенных инерциально-спутниковых навигационных систем (БИНС) на базе волоконно-оптических гироскопов (ВОГ), в частности БИНС-500 и БИНС-1000.

На рис. 1 представлен опытный образец системы БИНС-1000, на рис. 2 – ее структурная схема.

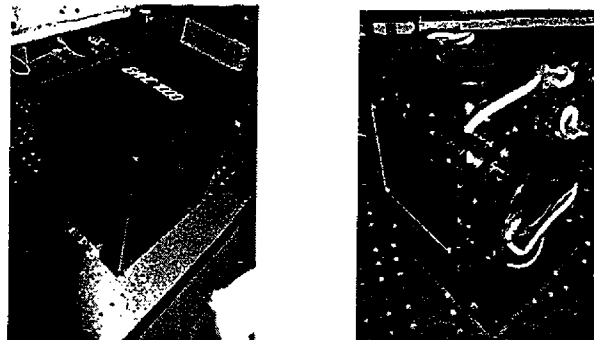


Рис. 1. Бесплатформенная инерциально-спутниковая навигационная система БИНС-1000

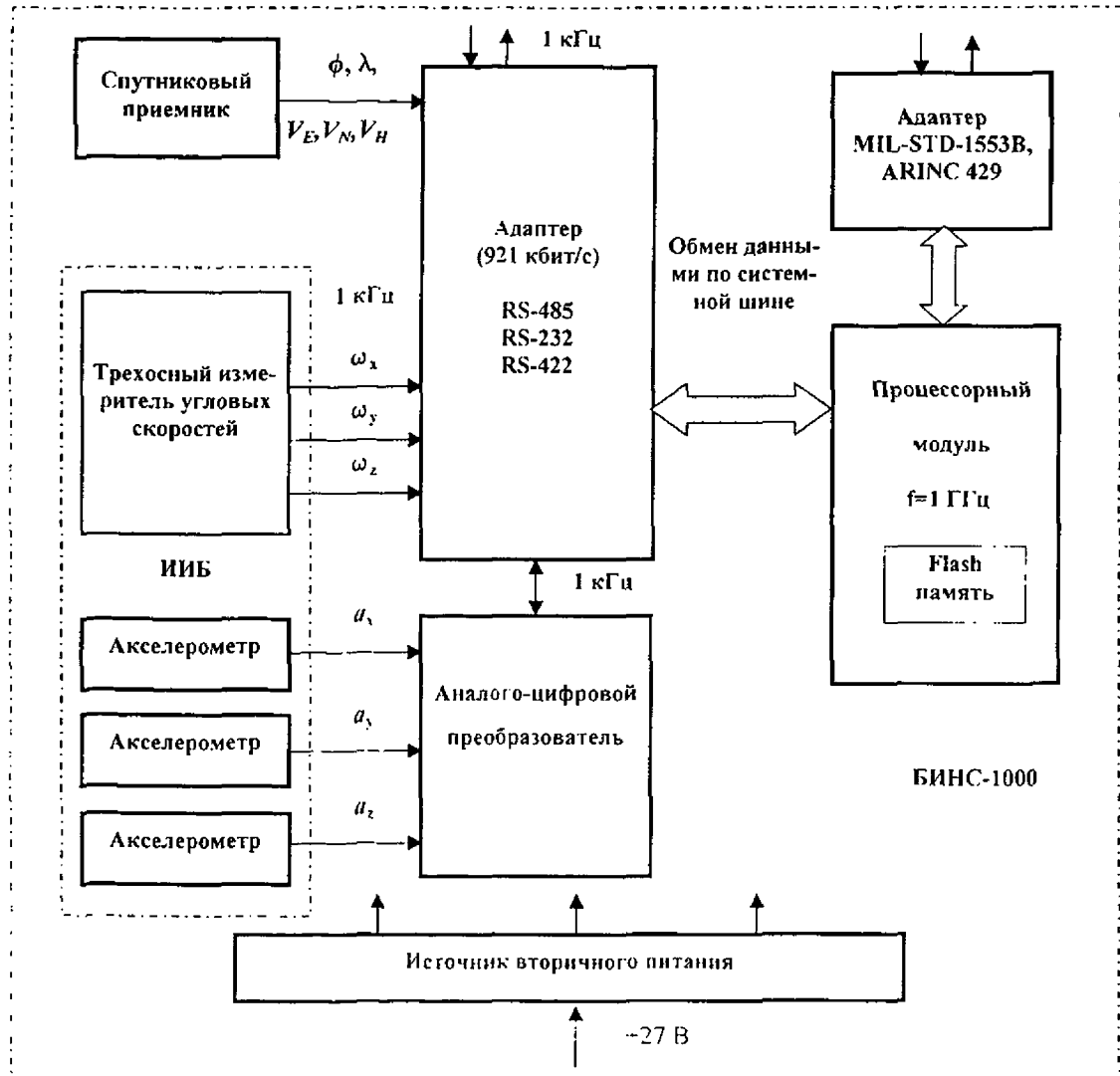


Рис. 2 Структурная схема бесплатформенной инерциально-спутниковой навигационной системы БИНС-1000

В данных системах аппаратная настройка измерительно-вычислительной среды опирается на предварительную структуризацию алгоритмического обеспечения и направлена на решение следующих задач:

- возможность реализации на основе базовой архитектуры ИВС различных вариантов построения БИСНС в зависимости от назначения объекта, требуемых эксплуатационных характеристик и стоимости;
- последовательное расширение вычислительных возможностей ядра ИВС при сквозной реализации различных режимов функционирования БИСНС;
- обеспечение многоуровневой иерархической организации вычислительного процесса;
- минимизация аппаратных затрат на основе модульной интегрированной архитектуры построения ИВС;
- возможность реконфигурации и адаптации ИВС к режимам функционирования ИСНС и объекта на основе унификации программно-аппаратных модулей. При разработке серии БИНС на ВОГ в качестве базового использован стандарт РС-104;
- возможность предварительной обработки информации с датчиков, преобразованной в цифровую форму;
- возможность адаптации интерфейсов ИВС к объекту;
- возможность реализации всех вычислительных процедур за один такт, задаваемый опорным генератором. Такая возможность может быть достигнута на основе следующих технологических решений:
 - потоковая RISC – организация вычислительного процесса;
 - буферизация и распараллеливание входной и выходной информации;
 - синхронизация процедур сбора, обработки и регистрации данных на всех уровнях иерархии;
 - использование системной шины ИВС для ускорения обмена данными между модулями БИСНС.

2. Объектно-ориентированная технология программно-математического обеспечения интегрированных беспилотных инерциально-спутниковых навигационных систем

Объектно-ориентированная технология программно-математического обеспечения (ПМО) предусматривает отображение алгоритмов ИСНС на реконфигурируемую измерительно-вычислительную среду.

Такая технология опирается на решение следующих задач:

- распределение задач сбора, обработки и регистрации данных между уровнями иерархии ИВС;
- структуризация алгоритмического обеспечения ИСНС с целью унификации программно-математических модулей и потоковой RISC-организации вычислений;
- отображение унифицированных программно-математических модулей на многоуровневую иерархическую структуру ИВС;
- согласование процедур первичной и вторичной обработки сигналов навигационных измерителей с вычислительными возможностями ИВС;
- повышение однородности вычислительного процесса на основе минимизации количества проверок и условий.

При разработке ПМО для системы БИНС-1000 использованы следующие объектно-ориентированные технологические решения, которые опираются на сильносвязанные схемы демпфирования ошибок БИНС [1]:

— однородность и потоковая реализация алгоритмов автономного функционирования БИНС достигнута на основе раздельного решения кватернионных уравнений для параметров ориентации, навигации и их ошибок

$$\bullet \quad 2\dot{q}_0 = \Pi_0 q_0; \quad (1)$$

$$\bullet \quad 2\dot{q}_1 = \Pi_1 q_1; \quad (2)$$

$$\bullet \quad \dot{x} = A(t)x(t) + G(t)\xi(t), \quad (3)$$

где q_0 – кватернион, характеризующий угловую ориентацию связанный с инерциальным измерительным блоком (ИИБ) системы координат oxz относительно инерциальной $OX_иY_иZ_и$ [2]; q_1 – кватернион, характеризующий угловую ориентацию свободного в азимуте опорного навигационного трехгранника $o\acute{x}\acute{y}\acute{z}$ относительно земной геоцентрической системы координат OX,Y,Z [2, 3];

$$\Pi_0 = \begin{bmatrix} 0 & \dot{\Theta}_y & -\dot{\Theta}_x & -\dot{\Theta}_z \\ -\dot{\Theta}_y & 0 & \dot{\Theta}_z & -\dot{\Theta}_x \\ \dot{\Theta}_x & -\dot{\Theta}_z & 0 & -\dot{\Theta}_y \\ \dot{\Theta}_z & \dot{\Theta}_x & \dot{\Theta}_y & 0 \end{bmatrix}; \quad \Pi_1 = \begin{bmatrix} 0 & -\omega_\xi & -\omega_\eta & -\omega_\zeta \\ \omega_\xi & 0 & \omega_\zeta & -\omega_\eta \\ \omega_\eta & -\omega_\zeta & 0 & \omega_\xi \\ \omega_\zeta & \omega_\eta & -\omega_\xi & 0 \end{bmatrix}$$

где $\dot{\Theta} = \begin{bmatrix} \dot{\Theta}_x & \dot{\Theta}_y & \dot{\Theta}_z \end{bmatrix}^T$ – вектор выходных сигналов ВОГ; $\bar{\omega} = [\omega_\xi \ \omega_\eta \ \omega_\zeta]^T$ – вектор угловых скоростей вращения опорного трехгранника $\sigma\xi\eta\zeta$ в геодезической системе координат [4]. Причем для свободного в азимуте трехгранника $\omega_\zeta = 0$. Элементы вектора $\bar{\omega}$ определяются по проекциям V_ξ, V_η, V_ζ вектора относительной скорости \dot{V} из решения основного уравнения инерциальной навигации

$$\dot{V} = C_2^T \bar{a} + \bar{g} - 2\bar{\Omega} \times \bar{V} - \bar{\omega} \times \bar{V} - \bar{\Omega} \times (\bar{\Omega} \times \bar{R}), \quad (4)$$

где $\bar{V} = [V_\xi \ V_\eta \ V_\zeta]^T$ – вектор относительной скорости движения ИИБ в проекциях на оси опорного навигационного трехгранника $\sigma\xi\eta\zeta$; $\bar{a} = [a_x \ a_y \ a_z]^T$ – вектор выходных сигналов акселерометров; $\bar{g} = [g_\xi \ g_\eta \ g_\zeta]^T$ – вектор гравитационного ускорения; $\bar{\Omega} = [\Omega_\xi \ \Omega_\eta \ \Omega_\zeta]^T$ – вектор угловой скорости вращения Земли; $\bar{R} = [0 \ 0 \ R]^T$ – радиус-вектор местоположения ИИБ; (\times) – оператор векторного произведения; C_2 – матрица направляющих косинусов, характеризующая угловую ориентацию связанный системы координат oxz относительно опорного трехгранника $\sigma\xi\eta\zeta$ и определяемая по элементам кватернионов q_0, q_1 и углу Δt , где Δt – время функционирования БИНС. Кроме того, по элементам данных кватернионов определяются углы ориентации ψ, θ, γ ИИБ относительно сопровождающего трехгранника σENI геодезической системы координат, а также геодезические широта ϕ и долгота λ ; Π_0, Π_1 – кососимметричные матрицы, знаки элементов которых соответствуют конструктивному исполнению ИИБ; $x(t)$ – вектор ошибок БИНС. Раздельное решение уравнений (1), (2) позволило довести глубину оценивания ошибок БИНС до уровня чувствительных элементов (ЧЭ): гироскопов и акселерометров. Базовый вектор $x(t)$ включал 17 параметров, а именно: ошибки счисления составляющих вектора относительной скорости $\Delta V_\xi, \Delta V_\eta, \Delta V_\zeta$, ошибки счисления элементов кватернионов Δq_0 и Δq_1 , угловые дрейфы ВОГ $\Delta\dot{\Theta}_x, \Delta\dot{\Theta}_y, \Delta\dot{\Theta}_z$ и смещения акселерометров $\Delta a_x, \Delta a_y, \Delta a_z$. Уравнения ошибок ЧЭ формировались в системе координат, связанной с ИИБ. Это позволило реализовать сильно-связанную схему демпфирования ошибок ЧЭ с фильтром Калмана в контуре оценивания; $A(t) = \frac{\partial F(Y, t)}{\partial Y}$ – матрица частных производных; $F(Y, t)$ – функция, представляющая в общем виде правые части уравнений БИНС (1), (2), (4) и ошибок ЧЭ; $Y = Y(t)$ – вектор параметров, определяемых БИНС; $G(t)$ – матрица интенсивностей возмущений $\xi(t)$; однородность и потоковая реализация алгоритмов комплексирования БИНС и спутниковой навигационной системы (СНС) достигнута на основе $W-D$ технологии [5] обработки наблюдений.

Процедуры такой обработки опираются на вычислительно устойчивую $U-D$ модификацию фильтра Калмана–Джозефа [6] и вытекают из тождества

$$P_{IIJ} = W_{IIJ} \bar{D}_{IIJ} W_{IIJ}^T = U_{IIJ} D_{IIJ} U_{IIJ}^T, \quad (5)$$

где P_{IIJ} – значение апостериорной ковариационной матрицы ошибок оценивания на i -м шаге после обработки j -го элемента вектора наблюдений Z_t ; W_{IIJ} – прямоугольная матрица размерности $n \times (n+j)$; \bar{D}_{IIJ} – диагональная матрица размерности $(n+j) \times (n+j)$; U_{IIJ} – верхняя треугольная матрица размерности $n \times n$ с единичными диагональными элементами; D_{IIJ} – диагональная матрица размерности $n \times n$.

На основе тождества (5) реализована $W-D$ модификация алгоритма адаптивно-робастной обработки наблюдений

Прогноз:

$$\hat{x}_i = \hat{x}_{i-1} + \Phi_i \hat{x}_{i-1}; \quad (6)$$

$$W_0 = [\Phi_i U_{i-1} \Gamma_i]; \quad (7)$$

$$\bar{D}_0 = \text{diag}(D_{i-1}, Q_{i-1}); \quad (8)$$

Настройка:

$$v_j = z_j - H_j m_{j-1}; \quad \beta_j = v_j / \alpha_j; \quad (9)$$

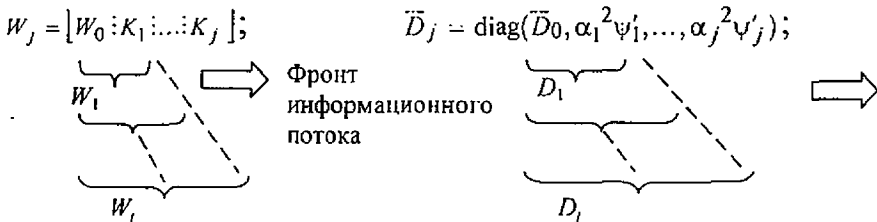
$$\psi_j = \psi(\beta_j); \quad \psi'_j = \psi'(\beta_j); \quad (10)$$

Коррекция:

$$f_j = H_j W_{j-1}; \quad V_j = D_{j-1} f_j^T; \quad (11)$$

$$\tilde{\alpha}_j = f_j V_j v'_j + \alpha_j^2; \quad K_j = W_{j-1} V_j / \tilde{\alpha}_j; \quad (12)$$

$$m_j = m_{j-1} + K_j \alpha_j \psi_j; \quad \hat{x}_{i-1} = m_l; l = \overline{1, i}; \quad (13)$$



Ортогональное преобразование:

$$MWGS\{W_l; \bar{D}_l\} \rightarrow U_{i/l}; D_{i/l}, \quad (15)$$

где m_j, \hat{x}_{i-1} – оценки вектора ошибок БИНС на i -м шаге после обработки соответственно j -го элемента z_j и всего вектора наблюдений z_i ; α_j – параметр масштаба; Φ_i, Γ_i – переходные матрицы для векторов состояния x_i и возмущений ξ_i соответственно; Q_i – ковариационная матрица для вектора возмущений; ψ_j, ψ'_j – функция влияния и ее производная [6], устанавливающие уровень доверия к поступающим наблюдениям. Данные функции формируются с учетом априорных предположений о законах распределений полезного сигнала и помехи или настраиваются адаптивно [7]; MWGS – процедура [8] преобразования совокупности матриц W_l размерности $n \times (n+l)$ и \bar{D}_l размерности $(n+l) \times (n+l)$ в совокупность матриц $U_{i/l}, D_{i/l}$ размерности $n \times n$.

Потоковая организация вычислений позволила вынести процедуру ортогонализации (15) из базового цикла обработки наблюдений (9) – (14) и выполнять её однократно.

Алгоритм (6) – (15) реализован на уровне первичной и вторичной обработки сигналов. Его место в структуре ПМО системы БИНС-1000 показано на рис. 3, где Акс – триада акселерометров; ДУС – триада датчиков угловой скорости; ЦФ – цифровой фильтр; НК – преобразователь координат; \hat{x}_d – вектор оценок смещений сигналов акселерометров; \hat{x}_ω – вектор оценок дрейфов ВОГ; РФК – рабочая W/D модификация фильтра Калмана.

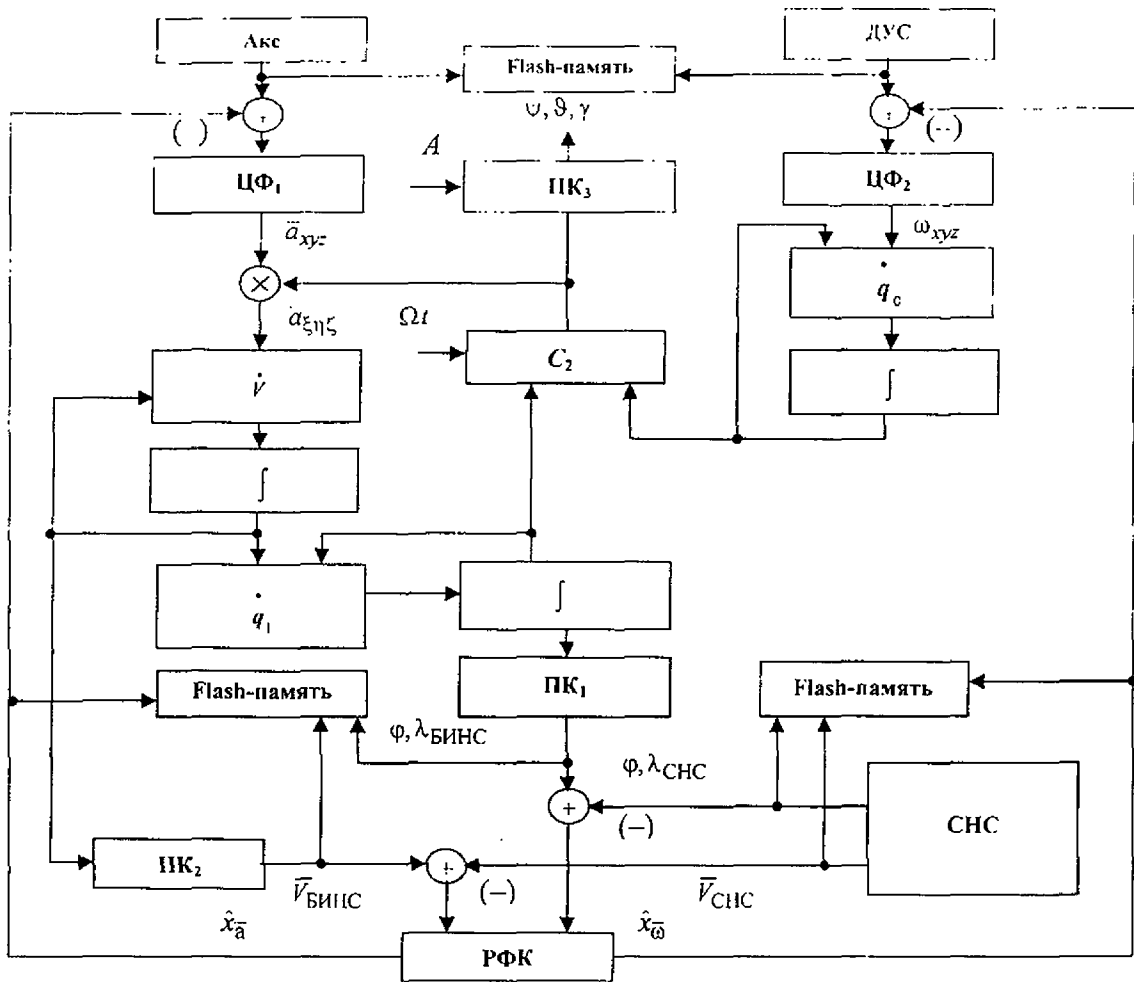


Рис. 3. Структурная схема программно-математического обеспечения системы БИНС-1000

3. Анализ результатов исследований

Объектом экспериментальных исследований являлась интегрированная инерциально-спутниковая навигационная система БИНС-1000 на базе ВОГ ОИУС-1000 разработки НПК "ОПТОЛИНК" (Зеленоград) [9] и спутникового приемника К-161 разработки РИРВ (Санкт-Петербург).

Эксперименты проводились в наземных условиях с размещением оборудования на стенде и в подвижной лаборатории. Циклограмма работы БИНС включала следующие этапы: грубая начальная выставка ($0 \div 100$ с); точная начальная выставка ($100 \div 600$ с); навигационный режим ($600 \div 7500$ с). На этапе грубой начальной выставки выполнялось приближенное определение угловой ориентации инерциального измерительного блока по выходным сигналам чувствительных элементов. На этапе точной начальной выставки оценивались и компенсировались ошибки угловой ориентации и дрейфы ЧЭ ИИБ путем последовательной обработки сигналов наблюдений z_i , следующего вида

$$z_{\Theta(i)} = C_{0(i)}^T \int_{t_{i-1}}^{t_i} \dot{\Theta}(\tau) d\tau - [0:0:\Omega \Delta t_i]^T ; \quad (16)$$

$$z_{k(i)} = [\varphi_i \lambda_i]_{\text{БИНС}}^T - [\varphi_i \lambda_i]_{\text{ТНВ}}^T ; \quad (17)$$

$$z_{V(i)} = [V_x V_y V_z]_{(i)\text{БИНС}}^T , \quad (18)$$

где ТНВ – обозначение точки начальной выставки; φ_i, λ_i – геодезические широта и долгота местоположения БИНС; $\Delta t_i = t_i - t_{i-1}$ – шаг наблюдения.

Оценивание и компенсация ошибок БИНС в навигационном режиме выполнялось по позиционным и скоростным наблюдениям

$$z_{k(i)} = [\Phi_i \lambda_i]_{\text{БИНС}}^T - [\Phi_i \lambda_i]_{\text{СНС}}^T; \quad (19)$$

$$z_{v(i)} = C_{3(i)}^T [V_\xi V_\eta V_\zeta]_{(i)\text{БИНС}}^T - [V_E V_N V_H]_{(i)\text{СНС}}^T, \quad (20)$$

где C_3 – матрица направляющих косинусов, характеризующая взаимную угловую ориентацию трехгранников $\sigma\xi\eta\zeta$ и σENH .

Результаты сравнительного анализа функционирования БИНС с различными схемами демпфирования ошибок ЧЭ получены на основе счисления параметров движения по зарегистрированным сигналам ЧЭ ИИБ и СНС.

Некоторые результаты стендового эксперимента по оценке точностных характеристик системы БИНС-1000 представлены на рис. 4-7. На рис. 4 показаны: выходной сигнал (график светлого цвета, угл. с/с) «вертикального» гироскопа; слаженный с помощью робастного цифрового фильтра [10] сигнал (график темного цвета) того же гироскопа. На рис. 5 показаны: выходной сигнал (график светлого цвета, м $/$ с 2) одного из горизонтальных акселерометров; слаженный с помощью робастного цифрового фильтра сигнал (график темного цвета) того же акселерометра. Сглаживание выполнялось с частотой съема сигналов ЧЭ 1 кГц.

На рис. 6 показан реальный инструментальный дрейф ВОГ (град/ч), определяемый как среднее значение смещения “нуля” на временных интервалах в 10с и его оценка, полученная при обработке наблюдений (16) – (18) с частотой 1 Гц в процессе точной начальной выставки (100 \div 600с) и прогнозировании в режиме навигации по алгоритму (6). На рис. 7 показана оценка смещения акселерометра. С 600с БИНС-1000 функционировала в автономном инерциальном режиме. На рис. 8-11 показаны ошибки счисления путевой скорости ΔV и круговой ошибки местоположения объекта ΔS . Рис. 8 отражает динамику изменения ошибки путевой скорости при демпфировании дрейфов ЧЭ, а рис. 9 – без демпфирования. Рис. 10 отражает динамику изменения круговой ошибки оценки местоположения объекта при демпфировании дрейфов ЧЭ, а рис. 11 – без демпфирования.

Рис. 12-17 отражают некоторые результаты экспериментов в подвижной лаборатории. На рис. 12-14 показаны соответственно углы истинного курса, тангажа и крена ИИБ, на рис. 15 – путевая скорость при движении испытательной лаборатории в городских условиях. Циклограмма работы БИНС-1000 в динамическом режиме: грубая начальная выставка (0 \div 10 с); точная начальная выставка (10 \div 15 с; алгоритм (16) \div (18)); навигация (15 \div 220 с; алгоритм (19), (20)). На рис. 16 показана ошибка оценки путевой скорости ΔV (м/с 2); а на рис. 17 – круговая ошибка оценки местоположения объекта ΔS , где

$$\Delta S = \sqrt{\delta_\phi^2 + \delta_\lambda^2}; \quad \Delta V = \sqrt{\Delta V_E^2 + \Delta V_N^2}; \quad \delta_\phi = (\Phi_{\text{БИНС}} - \Phi_{\text{СНС}})R; \quad \delta_\lambda = (\lambda_{\text{БИНС}} - \lambda_{\text{СНС}})R;$$

$$R = a(1 - 0,5e^2 \sin^2 \phi); \quad a = 6378245 \text{ м}; \quad e^2 = 0,0066934;$$

$$\Delta V_E = V_E(\text{БИНС}) - V_E(\text{СНС}); \quad \Delta V_N = V_N(\text{БИНС}) - V_N(\text{СНС});$$

$$V_E(\text{БИНС}) = V_\xi \cos A - V_\eta \sin A; \quad V_N(\text{БИНС}) = V_\xi \sin A - V_\eta \cos A;$$

A – азимутальный угол опорного трехгранника $\sigma\xi\eta\zeta$ относительно сопровождающего σENH .

$\dot{\Theta}, \dot{\hat{\Theta}}$, угл. с/с

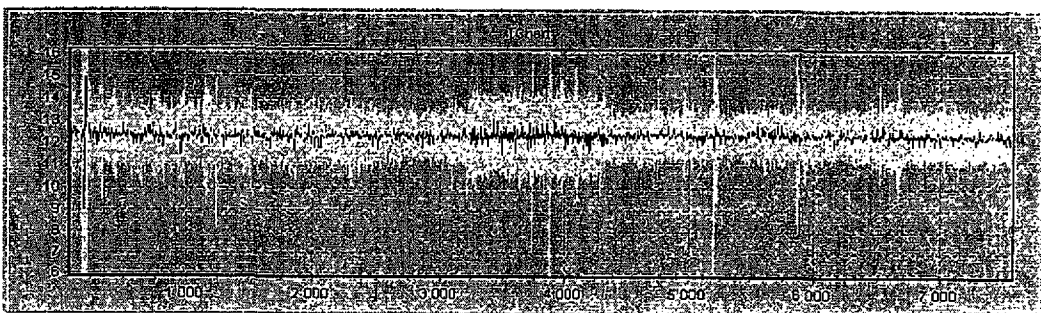


Рис. 4. Выходной сигнал «вертикального» гироскопа

$a_x, \text{м/с}^2$

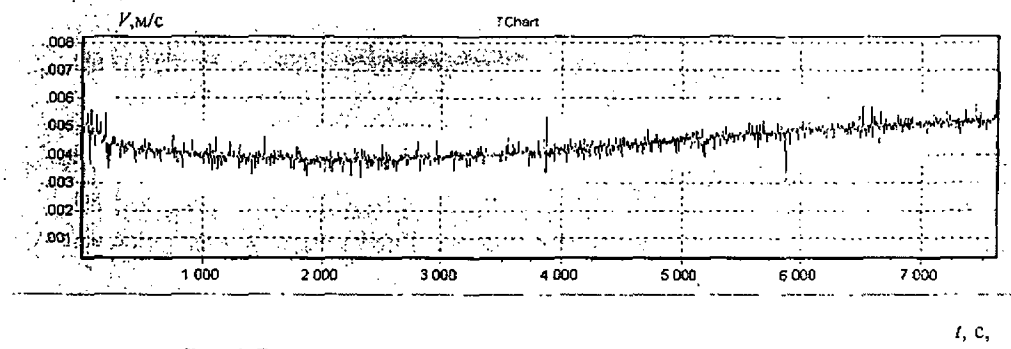


Рис. 5. Выходной сигнал одного из горизонтальных акселерометров

$\Delta\omega_z, ^\circ/\text{ч}$

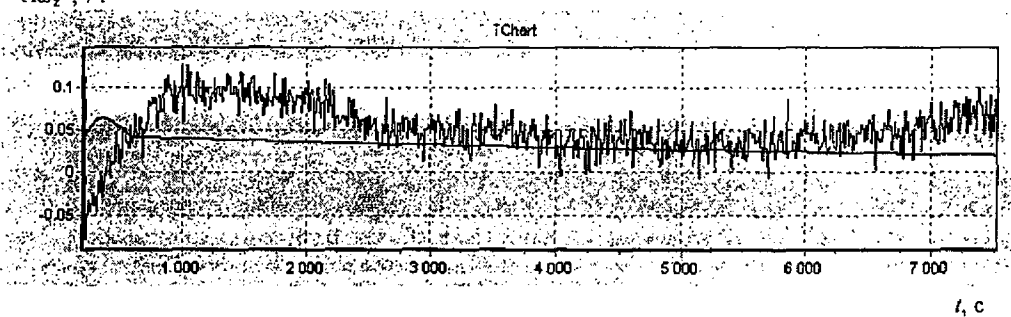


Рис. 6. Реальный инструментальный дрейф ВОИ и его оценка

$\hat{\Delta a}_x, \text{м/с}^2$

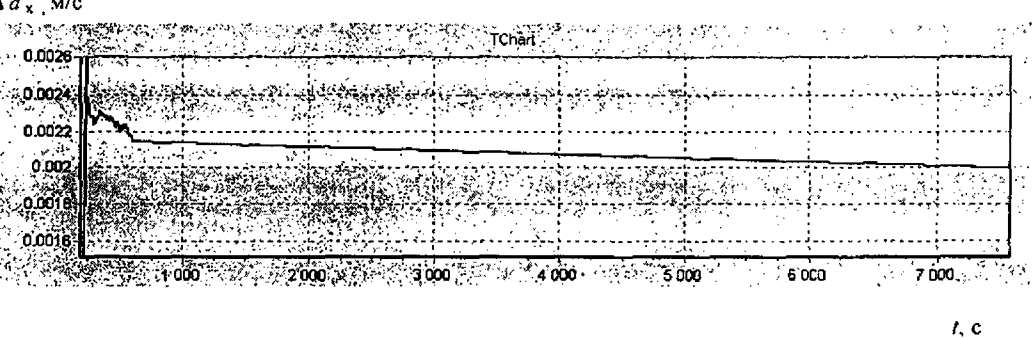


Рис. 7. Оценка смещения акселерометра

$\Delta V, \text{м/с}$

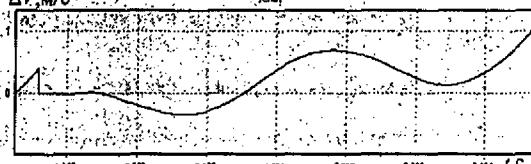


Рис. 8. Динамика изменения ошибки путевой скорости при демпфировании дрейфов ЧГ

$\Delta V, \text{м/с}$

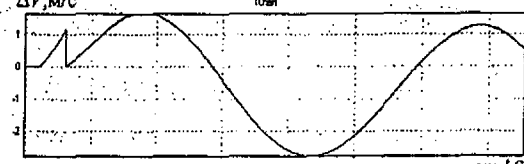


Рис. 9. Динамика изменения ошибки путевой скорости без демпфирования дрейфов ЧГ

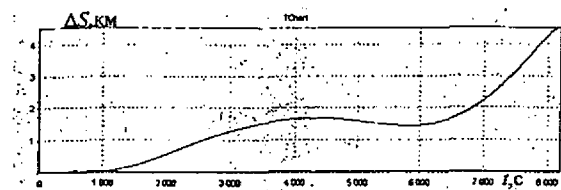


Рис. 10. Динамика изменения круговой ошибки оценки местоположения объекта при демпфировании дрейфов ЧП

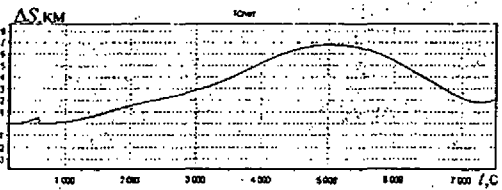


Рис. 11. Динамика изменения круговой ошибки оценки местоположения объекта без демпфирования дрейфов ЧП

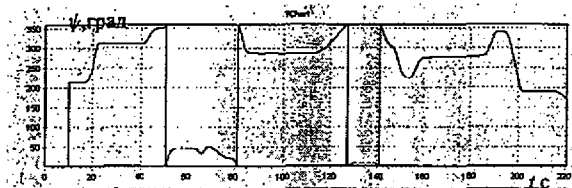


Рис. 12. Угол истинного курса

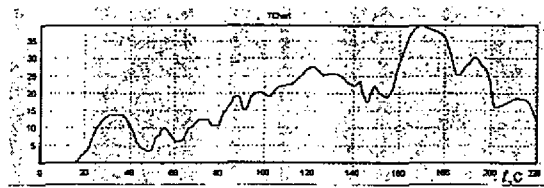


Рис.15. Путевая скорость

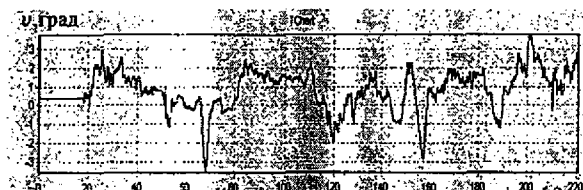


Рис. 13. Угол тангажа

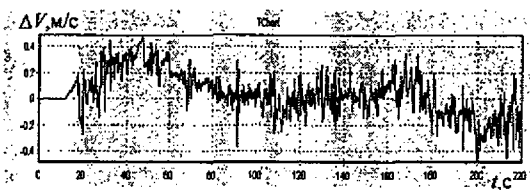


Рис.16. Ошибка оценки путевой скорости

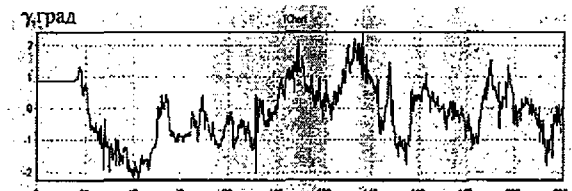


Рис. 14. Угол крена

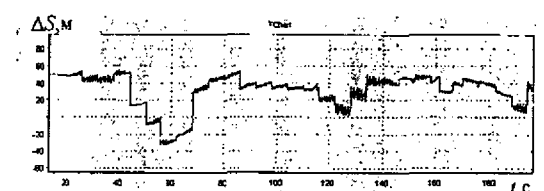


Рис.17. Круговая ошибка оценки местоположения объекта

Проведенные исследования подтверждают эффективность применения объектно-ориентированной технологии для создания заказных БИНС.

Заключение

В представленной работе рассматривается объектно-ориентированная технология интеграции навигационных измерителей. Такая технология тесно связана с системными подходами к проектированию бортового оборудования различного назначения по критерию эффективность-стоимость. Показано ее применение при создании бесплатформенной инерциально-спутниковой навигационной системы БИНС-1000 на водоконно-оптических гироскопах. Системное проектирование программно-математического и аппаратного обеспечения (ПМАО) БИНС-1000 выполнялось, начиная с наиболее ресурсоемкой в вычислительном отношении задачи – комплексирование навигационных измерителей на всех уровнях иерархии. В этом случае представляется возможным сохранять структуру ПМАО при применении различных параметров ориентации и навигации, а также – при коррекции математических моделей ошибок чувствительных элементов.

Литература

1. Чернодаров А.В., Патрикеев А.П., Гладкин С.М., Булгаков С.Л., Михеенков Ю.П., Голяев Ю.Д., Колбас Ю.Ю. Улучшение эксплуатационных характеристик интегрированных навигационных систем на основе сильносвязанных схем демпфирования ошибок чувствительных элементов // Материалы 13 Санкт-Петербургской международной конференции по интегрированным навигационным системам. – СПб: ЦНИИ «Электроприбор», 2006, с. 111 - 120.
2. ГОСТ 20058-80. Динамика летательных аппаратов в атмосфере. – М.: Издательство стандартов, 1981. – 52 с.
3. Бромберг П.В. Теория инерциальных систем навигации. - М.: Наука, ГРФМЛ, 1979. – 296 с.
4. ГОСТ Р 51794 - 2001. Аппаратура радионавигационная глобальной навигационной спутниковой системы и глобальной системы позиционирования. Системы координат. - М.: Госстандарт России, 2001. – 12 с
5. Чернодаров А.В., Коврегин В.Н., Рогалев А.П., Алакоз Г.М. Адаптивно-робастная обработка сигналов на однородных вычислительных структурах. - В кн.: Методы и микроэлектронные средства цифрового преобразования и обработки сигналов. – Рига: ИЭВТ АН ЛССР, 1989, т.1, с. 357-359.
6. Чернодаров А.В., Патрикеев А.П., Будкин В.Л., Голиков В.П., Ларионов С.В. Летная отработка бортовых оценивающих фильтров // Материалы 11 Санкт-Петербургской международной конференции по интегрированным навигационным системам. – СПб: ГНЦ РФ ЦНИИ «Электроприбор», 2004, с. 19 - 28.
7. Чернодаров А.В., Патрикеев А.П., Платонов А.Ю. и др. Параметрическая идентификация моделей погрешностей интегрированных систем навигации в режиме реального времени и по данным бортовых устройств регистрации // Гирокопия и навигация, 2007, № 4(30), с. 17–31.
8. Bierman G.J. Factorization methods for discrete sequential estimation. – N.Y.: Academic Press, 1977. – 320p.
9. Коркишко Ю.Н., Федоров В.А., Прилуцкий В.Е., Пономарев В.Г., Марчук В.Г., Морев И.В., Костицкий С.М., Надерин Е.М., Несенюк Л.П., Буравлев А.С., Лисин Л.Г. Волоконно-оптический гироскоп навигационного класса точности // Материалы 14 Санкт-Петербургской международной конференции по интегрированным навигационным системам. – СПб: ЦНИИ «Электроприбор», 2007. с. 141-150.
10. Коркишко Ю.Н., Федоров В.А., Чернодаров А.В., Патрикеев, Переляев С.Е. Многоуровневая обработка сигналов волоконно-оптических гироскопов в беспилотных инерциальных навигационных системах // Материалы 15 Санкт-Петербургской международной конференции по интегрированным навигационным системам. – СПб: ЦНИИ «Электроприбор», 2008, с.54 -56.
11. Бабич О.А. Обработка информации в навигационных комплексах. – М.: Машиностроение, 1991. – 512 с.